

Implementación de modelos de potencial de evapotranspiración usando el software SciLab

T. A. Mendes

Instituto Federal de Educación, Ciencia y Tecnología de Goiás, Aparecida de Goiânia, Goiás, Brasil.

Pontificia Universidad Católica de Goiás, Goiânia, Goiás, Brasil.

Universidad de Brasília, Brasília, Brasil.

A. A. N. Dantas

Instituto Federal de Educación, Ciencia y Tecnología de Goiás, Aparecida de Goiânia, Goiás, Brasil.

Universidad de Brasília, Brasília, Brasil.

L. G. V. Reis

Instituto Federal de Educación, Ciencia y Tecnología de Goiás, Aparecida de Goiânia, Goiás, Brasil.

N.P. Sánchez

Universidad de Brasília, Brasília, Brasil.

J. F. R. Rebolledo

Universidad de Brasília, Brasília, Brasil.

L. F. M. Ribeiro

Universidad de Brasília, Brasília, Brasil.

RESUMEN: El fenómeno de evapotranspiración es fundamental para la evaluación del comportamiento de la interacción suelo-atmósfera con presencia de cubierta vegetal, estando directamente relacionado al contexto hidrológico (balance hídrico) y al geotécnico (suelos no saturados). Dentro de ese contexto, la determinación cuantitativa de los valores evapotranspirados es de extrema importancia para diversas áreas del conocimiento, a fin de evaluar, principalmente, la relación de las variables de entrada envueltas en los modelos tradicionales con los resultados estimados por estos. De esta forma, este trabajo busca implementar los modelos de evapotranspiración de Thornthwaite (1948) y Penman-Monteith FAO-56 (1998) en el *software* libre *Scilab*, para evaluar si existe diferencia significativa en los valores estimados. Las estimaciones del potencial de evapotranspiración por los modelos implementados son diferentes en la mayoría de los casos, destacándose la sobre estimación del modelo de Penman-Monteith FAO-56 en relación al modelo de Thornthwaite.

Palabras-Clave: Modelación; infiltración; Thornthwaite; Penman-Monteith FAO-56.

ABSTRACT: The evapotranspiration phenomenon is fundamental for the evaluation of the soil-atmosphere interaction behavior, with the presence of vegetation cover being directly related to the hydrological (water balance) and geotechnical (unsaturated soils) context. Within this context, the quantitative determination of the evapotranspiration values is of extremely importance in several areas of knowledge, with the scope to evaluate, mainly, the relation of the input variables involved in the traditional models with the results estimated by them. Thus, this article aims to implement the potential evapotranspiration models of Thornthwaite (1948) and Penman-Monteith FAO-56 (1998) by using the Scilab free software in order to evaluate if there is a significant difference in the estimated values. The estimation of potential evapotranspiration by the implemented models diverged in most cases, with emphasis on the Penman-Monteith FAO-56 model overestimation of the Thornthwaite model.

Keywords: modeling; infiltration; Thornthwaite; Penman-Monteith FAO-56.

1. Introducción

Según Rodríguez-Iturbe & Porporato (2004) la evapotranspiración es el fenómeno a partir del cual el agua en estado líquido es llevada a un estado de vapor por medio de una transferencia de calor. Independientemente de que la transpiración y la evaporación sean reguladas por mecanismos diferentes, generalmente son consideradas como un único mecanismo para efectos de simplificación. Además, esos fenómenos tienen una variación similar por causa de su alta correlación con la temperatura.

Tood & Mays (2005) destacan que la tasa de evaporación está influenciada por la estructura del suelo, que controla la tensión capilar arriba del nivel freático y, por tanto, de su conductividad hidráulica. Para suelos con nivel freático a profundidades de menos de un metro, la evapotranspiración es en gran parte controlada por las condiciones atmosféricas; mientras que, para profundidades mayores las propiedades del suelo se vuelven limitantes, decreciendo la tasa acentuadamente con la profundidad.

Por otro lado, para Muñoz-Hoyos (2014) la vegetación depende del tipo de vegetación, de la estación y del clima. Períodos calientes y con mucho viento pueden y traen incrementos en la tasa de potencial de evapotranspiración, en cambio períodos fríos y nublados presentan apenas pequeñas variaciones de la humedad del suelo. Cuanto mayor es la profundidad de las raíces, mayor es la cantidad de agua evapotranspirada.

Las tasas de evapotranspiración del suelo dependen también de la disponibilidad de agua y de la fracción de radiación solar que alcanza a la superficie (Thornthwaite, 1948).

Siendo así, el fenómeno de evapotranspiración desde el punto de vista cuantitativo y cualitativo, puede y debe tenerse en cuenta en la interacción suelo-atmósfera, ya sea para estudios agrícolas, hidrológicos o geotécnicos; con el fin de comprender mejor el comportamiento, relación e interdependencia de los diferentes tipos clima, vegetación, suelos y disponibilidad hídrica.

Existen inúmeros métodos para estimar la evapotranspiración, unos basados en parámetros climatológicos, como la temperatura media y la humedad relativa, desde los métodos de Thornthwaite (1948), Penman (1948), Bouchet (1963) y Priestley & Taylor (1972) hasta los métodos derivados de la ecuación de Penman-Monteith FAO-56 (Allen *et al.*, 1998). Estos métodos se basan en términos físicos sobre

intercambio de calor y energía, ley de los gases y difusiones turbulentas.

En la literatura existen diversos estudios que muestran la estimación, comparación y evaluación del potencial de evapotranspiración para diferentes localidades geográficas por diferentes métodos (sean directos o indirectos), pero estos no relatan de forma clara las herramientas computacionales empleadas para la implementación de los métodos de evapotranspiración envueltos (SILVA *et al.*, 2005; CONCEIÇÃO & MANDELLI, 2005; BACK, 2008; MOURA *et al.*, 2013).

De esta forma, el presente trabajo tiene como objetivo general, mostrar la implementación de los métodos de Thornthwaite (1948) y Penman-Monteith FAO-56 (1998) en el *software* libre *SciLab*, para la determinación del potencial de evapotranspiración, evaluando si existe diferencia significativa entre los resultados estimados.

2. Materiales y métodos

Los datos climatológicos (precipitación, temperatura y humedad relativa del aire, radiación solar, temperatura del suelo, velocidad y dirección del viento) necesarios para la estimación de los valores evapotranspirados fueron obtenidos de la estación meteorológica automática de Goiânia – GO (código 86734), localizada en el municipio de Goiânia, capital del Estado de Goiás, latitud -16.642841°, longitud -49.220222° y altitud de 727,0 metros sobre el nivel del mar (INMET, 2017).

La ciudad de Goiânia se localiza en el bioma Cerrado, presenta clima predominantemente tropical, semi-húmedo, con estaciones bien definidas, temperatura media anual de 23 °C y altitud media de 749,00 metros sobre el nivel medio del mar, poseyendo área territorial de 728,841 km², población de 1,3 millones de habitantes (IBGE, 2010). El período lluvioso ocurre entre los meses de octubre y abril.

Con relación a los dos métodos implementados en el *software SciLab*, estos fueron evaluados en la escala de tiempo diario y mensual para todo el año de 2017.

El *Scientific Laboratory (SciLab)* es un *software* científico libre para análisis y computación numérica. Desarrollado por el *Institut National de Recherche en Informatique et en Automatique* (INRIA) y la *École Nationale des Ponts et Chaussées* (ENPC); permite implementar métodos numéricos con uso de matrices y vectores como datos de entrada.

Para el análisis diario de la evapotranspiración, el método de Thornthwaite necesita de transformaciones en la ecuación original para la conversión de unidades, factor de localidad y fecha

(mes del año involucrado). En cuanto para el análisis mensual, el método de Penman-Monteith FAO-56 considera la sumatoria diaria de cada mes en cuestión.

2.1 Método de Penman-Monteith FAO-56

El método de Penman-Monteith FAO-56 (Allen *et al.*, 1998), obtenido a través de diversas parametrizaciones (ajustes), es dado por la Ecuación 1:

$$ET_{O(PM56)} = \left(\frac{0,408\Delta(Rn - G) + \gamma \frac{900}{T+273} u_2 (e_s - e_a)}{\Delta + \gamma(1+0,34u_2)} \right) \quad (1)$$

donde: $ET_{O(PM56)}$ es la evapotranspiración de referencia estimada a través del método de Penman-Monteith FAO-56 (mm d^{-1}); Rn es la cantidad de radiación en la superficie ($\text{MJ m}^2 \text{d}^{-1}$); G es el flujo de calor en el suelo ($\text{MJ m}^2 \text{d}^{-1}$); T es la temperatura media del aire ($^{\circ}\text{C}$); u_2 es la velocidad del viento a 2 metros de altura (m s^{-1}); e_s es la presión de vapor de saturación (kPa); e_a es la presión real del vapor (kPa); Δ es la tangente a la curva de la presión de saturación del vapor de agua ($\text{kPa } ^{\circ}\text{C}^{-1}$) y γ es el coeficiente psicrométrico ($\text{kPa } ^{\circ}\text{C}^{-1}$).

La Figura 1 (no apéndice) ilustra como los parámetros y variables del método de Penman-Monteith FAO-56 pueden ser obtenidos (campo o calculados), sus interrelaciones, procesamiento, simplificaciones y limitaciones.

2.2 Método de Thornthwaite

Conforme Thornthwaite (1948), la evapotranspiración puede ser estimada por la Ecuación 2 o 3, teniendo en consideración la restricción de la temperatura media mensual del aire para el local evaluado.

$$ET_{O(Th)} = 16 \left(10 \frac{T_i}{I} \right)^a, \quad 0^{\circ}\text{C} \leq T_i \leq 26^{\circ}\text{C} \quad (2)$$

$$ET_{O(Th)} = -415,85 + 32,24T_i - 0,43T_i^2, \quad T_i > 26^{\circ}\text{C} \quad (3)$$

donde $ET_{O(Th)}$ es la evapotranspiración de referencia (mm mes^{-1}), T_i es la temperatura media mensual del aire ($^{\circ}\text{C}$), y el I es el índice térmico impuesto por el régimen climático local (preferencialmente con valores normales), calculado por:

$$I = \sum_{n=1}^{12} (0,2T_i)^{1,514} \quad T_i \geq 0^{\circ}\text{C} \quad (4)$$

$$a = 6,75 \cdot 10^{-7} I^3 - 7,71 \cdot 10^{-5} I^2 + 1,7912 \cdot 10^{-2} I + 0,49239 \quad (5)$$

en que, i representa el mes del año ($i = 1$, enero; $i = 2$, febrero; $i = 12$, diciembre).

Las Ecuaciones 2 y 3 determinan la evapotranspiración para meses de 30 días con 12 horas de radiación solar. La evapotranspiración diaria es determinada por la multiplicación del valor obtenido por las ecuaciones de Thornthwaite por el factor de corrección presentado por la Ecuación 6 (Pereira *et al.*, 1997).

$$C = \frac{N}{12} \cdot \frac{1}{30} \quad (6)$$

donde N es el fotoperíodo (h) del día. El cálculo del fotoperíodo es basado en la latitud del lugar y de la declinación solar, a través de la Ecuación 7 (Varejão-Silva, 2006).

$$N = \frac{1}{15} \omega_s \quad (7)$$

en que, ω_s es el ángulo horario relativo al nacimiento o a la puesta del sol. El factor de corrección (C) es responsable por ajustar el valor de la evapotranspiración, pues el brillo solar diario de cada región depende de su localización en el globo terrestre, o sea, de la latitud. Cuanto mayor es la latitud, mayor es la variación del factor de corrección para determinada época, pudiendo sobre estimar los valores hasta en un 20%.

Como el método de Thornthwaite fue desarrollado para locales situados en el hemisferio norte, es necesario también el ajuste de la latitud y mes evaluado. Así, Camargo (1961) estimó valores empíricos de factor de corrección del método de Thornthwaite (Fc) para latitudes entre 15° N y 37° S (tabulado). Mediante la interpolación lineal de los datos es posible determinar un factor de corrección para cualquier localidad entre esas dos latitudes.

Todo el método de Thornthwaite fue implementado en el SciLab, teniendo como datos de entrada la temperatura media del aire (diario o mensual), latitud y ω_s para la estimación de la evapotranspiración, utilizando tanto el factor de corrección C propuesto por Pereira *et al.* (1997) como el Fc propuesto por Camargo (1961).

Finalmente, fue calculado el error relativo entre los métodos, a fin de evaluar la discrepancia entre el método empírico de Thornthwaite, basado apenas en la temperatura del aire y el modelo de referencia de Penman-Monteith FAO-56.

3. Resultados y discusiones

En la Tabla 1 constan los parámetros de entrada utilizados para la estimación de la evapotranspiración por el método de Penman-Monteith FAO-56 (1998), obtenidos de la estación meteorológica de Goiânia – GO.

Tabla 1 – Parámetros de entrada para obtención de la evapotranspiración por el método de Penman-Monteith FAO-56

Parámetro	Unidad	Valor	Obtención
h	m	727,00	Barómetro
G	MJ m ² d ⁻¹	0,0	Calculado
ϕ	radianes	-0,290424	Heliógrafo

h es la altitud del local, G es la evaporación equivalente al flujo de energía para el solo y ϕ es la declinación solar.

La evapotranspiración equivalente al flujo de energía para el suelo (G) puede ser despreciada en caso que el intervalo evaluado sea pequeño, o sea, menor o igual a 10 (Hipólito & Vaz, 2013), y por eso se utilizó $G = 0$.

Variáveis de entrada como; temperatura, humedad, presión atmosférica y velocidad media del viento diarios y mensuales fueron obtenidas de la estación meteorológica y calculados conforme ecuaciones mostradas en el flujograma (Figura 1).

Así, inicialmente se procedió con la estimación de la evapotranspiración media mensual por el método de Thornthwaite (1948), convirtiendo luego en seguida en evapotranspiración media diaria a través del factor de corrección C (calculado) y ajustando por F_c (tabulado), conforme ilustra la Figura 2.

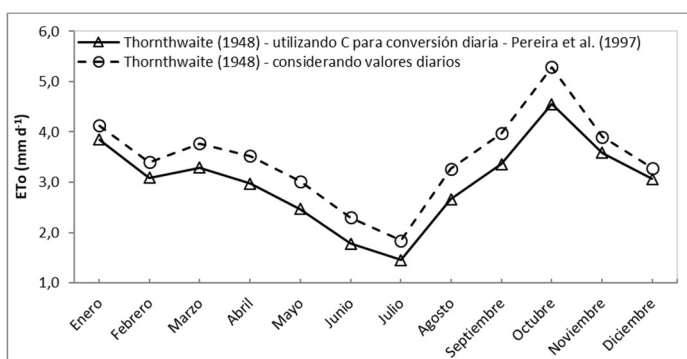


Figura 2. Medias mensuales de ET_0 obtenidas a través del método de Thornthwaite (1948) considerando datos medios diarios (ano de 2017).

Se puede percibir en la Figura 2 que los valores medios mensuales de ET_0 son mayores cuando son utilizados datos diarios de temperatura de aire, en vez de ser utilizado el factor de conversión C propuesto por Pereira *et al.* (1997). Lo que debe ser evaluado con cuidado para la aplicabilidad de los datos, pues, los valores de evapotranspiración

estimados para el lugar de estudio y año evaluado pueden diferenciarse hasta en un 30%.

Sin embargo, se observa en la Figura 2, la misma tendencia de los datos para todos los meses del año evaluado (2017), evidenciando coherencia numérica.

La gran mayoría de los valores de evapotranspiración obtenidos por el método de Penman-Monteith FAO-56 (1998) fueron mayores que los de Thornthwaite (1948) (Figuras 3 y 4). El primer método considera las variables climatológicas referentes a la humedad relativa del aire, velocidad del viento, temperatura del aire, tipo de cubierta vegetal en cuanto el segundo método se basa apenas en la temperatura media del aire.

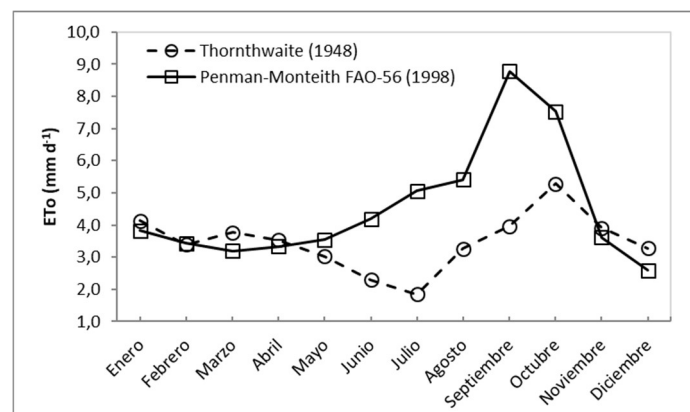


Figura 3. Medias mensuales de ET_0 obtenidas a través de los métodos de estimaciones de evapotranspiración, considerando **datos medios diarios** (año de 2017).

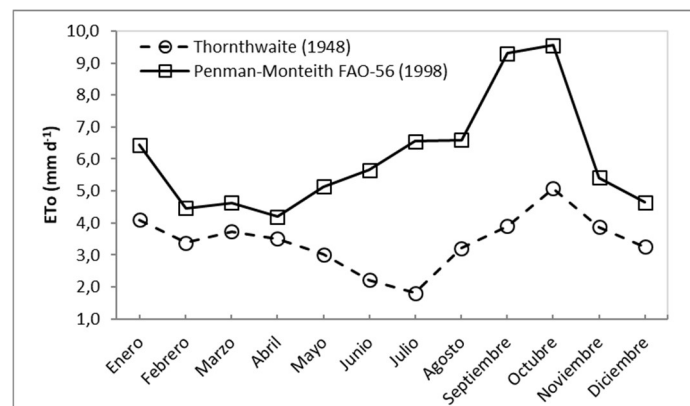


Figura 4. Medias mensuales de ET_0 obtenidas a través de los métodos de estimaciones de evapotranspiración, considerando **datos medios mensuales** (año de 2017).

Con relación a los datos diarios de temperatura (Figura 3) el método de Thornthwaite (1948) sobreestimó la ET_0 en los meses de enero (7,2%), marzo (15,2%) y abril (5,4%) y subestimó la ET_0 en los demás meses del año, con destaque en el mes de julio con 175% de diferencia.

En relación a los datos mensuales de temperatura (Figura 4) el método Thornthwaite (1948) subestimó la ET_0 en todos los meses del año con errores relativos menores, destacando-se el mes de Julio

(72,5%), mostrándose más satisfactorio para los datos medios mensuales de temperatura del aire.

Estos comportamientos de las tendencias de los datos de ET_o también fueron próximos a los estimados por Silva *et al.* (2005) y Moura *et al.* (2013), pero para otras localidades y con valores de errores relativos menores.

Otro hecho importante observado en las Figuras 3 y 4 es que, entre los meses de mayo a julio y octubre, la tendencia de la ET_o estimada por los métodos fueron inversamente proporcionales. La diferencia en el comportamiento de las tendencias puede ser explicado, pues, el método original de Thornthwaite no estima satisfactoriamente la evapotranspiración, por no considerar la influencia de la humedad relativa del aire, el término aerodinámico o contribución de la energía dinámica, y su resultado puede haber sido reflejo de la ausencia de este término en su formulación (CAMARGO *et al.*, 1999).

El método de Thornthwaite (1948) presentó bajo coeficiente de correlación con el método de Penman-Monteith FAO-56 (1998), con mejor resultado en la escala de tiempo mensual, como ya era esperado, siendo 0,13 para datos diarios de temperatura del aire (Figura 5) y 0,17 para datos mensuales de temperatura del aire (Figura 6).

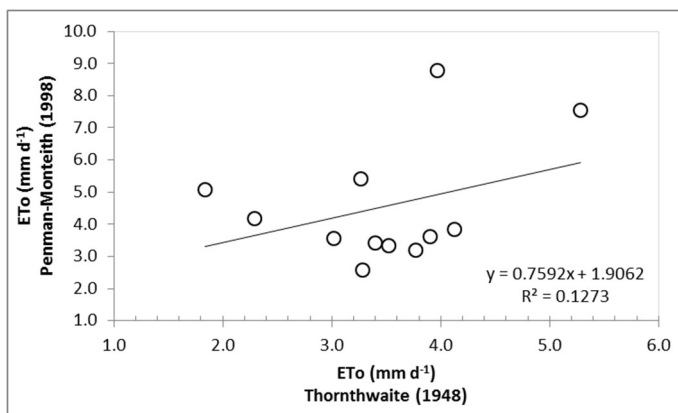


Figura 5. Valores diarios de evapotranspiración potencial obtenidos con **datos medios diarios** para Goiânia - GO (año de 2017).

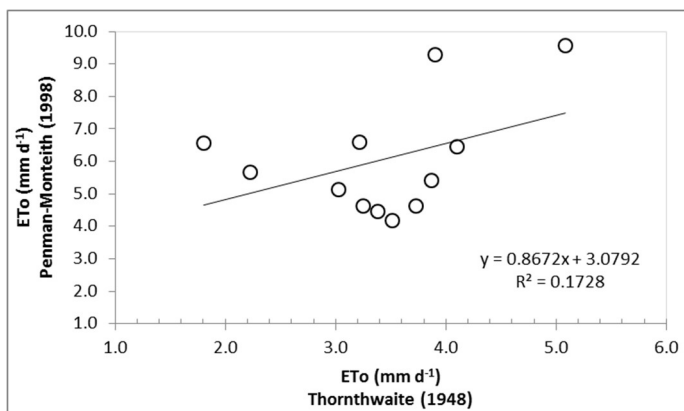


Figura 6. Valores diarios de evapotranspiración potencial obtenidos con **datos medios mensuales** para Goiânia - GO (año de 2017).

Otra comprobación de que el método de Thornthwaite (1948) es más satisfactorio para datos medios mensuales en comparación con datos medios diarios puede ser percibido por los errores relativos obtenidos que son menores (Tabla 2).

Tabla 2 – Errores relativos para datos de evapotranspiración en escala mensual y diaria.

Método	Escala (días)	Error relativo (%)			Datos
		Mínimo	Medio	Máximo	
Thornthwaite	1	0,95	46,81	175,0	365
	30	16,17	40,42	72,48	

Sin embargo, un mayor empleo de este método es para la estimación del balance hídrico, cuyos datos han sido utilizados para establecer comparaciones de condiciones climáticas entre áreas distintas, con la finalidad de obtenerse zonas agroclimáticas (VAREJÃO-SILVA, 2006).

4. Conclusiones

Ante los resultados estimados de evapotranspiración (ET_o) y considerando las condiciones climáticas del área estudiada, se concluye que:

- la implementación de los métodos de Penman-Monteith FAO-56 y Thornthwaite para estimar la ET_o en el *software SciLab* a través de entrada de datos en formato vectorial y matricial facilitó la evaluación de diferentes escenarios de forma práctica y rápida;
- los valores de ET_o obtenidos por el método de Penman-Monteith FAO-56 sobreestimaron, de manera general, aquellos obtenidos por el método de Thornthwaite, pero, fueron más coherentes con los datos reales del local de estudio, o sea, el método de Penman-Monteith FAO-56 de hecho debe ser el método de referencia para estimaciones de evapotranspiración potencial;
- el método de Thornthwaite es más indicado para estimar la ET_o cuando se utilizan datos medios mensuales de temperatura del aire que cuando se utilizan datos medios diarios;
- para regiones de clima tropical con estaciones bien definidas, como es el caso de Goiânia – Goiás, se sugiere utilizar el método Penman-Monteith FAO -56 por considerar la influencia de otras variables relacionadas a la estimación de la ET_o , como es el caso de la humedad relativa del aire, teniendo el cuidado de subestimar la ET_o por otro método de evaporación.

De un modo general, no hay como inferir sobre cual método de evapotranspiración es mejor, pues,

son necesarios datos reales evapotranspirados para validación, pero lo que se percibe es que los métodos deben ser utilizados conforme la aplicabilidad y restricciones de cada uno, o sea, considerando adecuadamente los parámetros y/o variables de entrada necesarios para su desarrollo.

5. Referencias

- Allen, R. G.; Pereira, L. S.; Raes, D.; Smith, M. Crop evapotranspiration: guidelines for computing crop water requirements. Rome: FAO. 300p. *Irrigation and Drainage Paper*, 56.
- Back, A. J. 2008. Desempenho de métodos empíricos baseados na temperatura do ar para a estimativa da evapotranspiração de referência em Urussanga. *Irriga*, Botucatu-SP, v.13, n.4, p.449-466.
- Bouchet, R. J. 1963. Évapotranspiration réelle et potentielle, signification climatique. *Int. Assoc. Sci. Hydrol.*, N.62: 134-142.
- Camargo, A. P. 1961. *Contribuição para a estimativa da evapotranspiração potencial no Estado de São Paulo*. Tese de Doutorado. Piracicaba: ESALQ.
- Camargo, A. P.; Marin, F. R.; Sentelhas, P. C.; Picini, A. G. 1999. Ajuste da equação de Thornthwaite para estimar a evapotranspiração potencial em climas áridos e superúmidos, com base na amplitude térmica diária. *Revista Brasileira de Agrometeorologia*, Santa Maria, v.7, n.2, p.251-257.
- Conceição, M. A. F. & Mandelli, F. 2005. Comparação entre métodos de estimativa da evapotranspiração de referência em bento Gonçalves, RS. *Revista Brasileira de Agrometeorologia*, Santa Maria, v. 13, n. 2, p. 303-307.
- Hipólito, J. R. & Vaz, J. R. 2013. *Hidrologia e recursos hídricos, 2ª edição*. Instituto Superior Técnico (IST). IST Press. Lisboa, Portugal. p. 796.
- IBGE - Instituto Brasileiro de Geografia e Estatística. 2010. *Censo 2010*. Rio de Janeiro: IBGE. Disponível em: <http://www.ibge.gov.br/cidadesat/link.php?codmun=351950>. Acesso em: 26 nov. 2017.
- INMET - Instituto Nacional de Meteorologia. 2017. *Estação Meteorológica de Observação de Superfície Automática*. Disponível em: <http://www.inmet.gov.br/portal/>. Acesso em: 26 dez. 2017.
- Moura, A. R. C.; Montenegro, S. M. G. L.; Antonino, A. C. D.; Azevedo, J. R. G.; Silva, B. B.; Oliveira, L. M. M. 2013. Evapotranspiração de referência baseada em métodos empíricos em bacia experimental no estado de Pernambuco -Brasil. *Revista Brasileira de Meteorologia*, 28(2),181-191. <https://dx.doi.org/10.1590/S0102-77862013000200007>.
- Muñoz-Hoyos, E. 2014. *Influência dos Parâmetros Hidrológicos e Geotécnicos na Estabilidade de Taludes*. Dissertação de Mestrado, Publicação G.DM-244/14, Departamento de Engenharia Civil e Ambiental, Faculdade de Tecnologia, Universidade de Brasília, Brasília, DF, 106 pgs.
- Penman, H. 1948. Natural evaporation from open water, bare soil and grass. *Proc. R. Soc. A Math. Phys. Eng. Sci.*, 193(1032): 120-145.
- Pereira, A. R.; Villa Nova, N. A.; Sedyama, G. C. 1997. *Evapo(transpi)ração*. Piracicaba: FEALQ, 183 p.
- Priestley, C. H. B. & Taylor, R. J. 1972. On the assessment of surface heat flux and evaporation using large-scale parameters. *Mon. Weather Rev.*, (February): 81-92.
- Rodríguez-Iturbe, I. & Porporato, A. 2004. *Ecohydrology of Water-Controlled Ecosystems*. Cambridge University Press, USA, 478 p.

- Silva, K. O.; Miranda, J. H.; Duarte, S. N.; Folegatti, M. V. 2005. Análise de métodos de estimativa de evapotranspiração na otimização de sistemas de drenagem. *Rev. bras. eng. agric. ambient.* vol.9, n.2, pp.161-165.
- Thornthwaite, C. 1948. An approach toward a rational classification of climate. *Geogr. Rev.*, 38(1): 55-94.
- Tood, D. K. & Mays, L. W. 2005. *Groundwater Hydrology*. Third Edit. John Wiley & Sons, Inc., USA, 636 p.
- Varejão-Silva, M. A. 2006. *Meteorologia e Climatologia*. Recife. Versão Digital, 443p.

6. Agradecimentos

Los autores agradecen al Consejo Nacional de Desarrollo Científico y Tecnológico (CNPq), a la Fundación de Apoyo a la Investigación del Distrito Federal (FAP-DF) y al Programa Institucional de Incentivo a la Participación en Eventos Científicos y Tecnológicos para Servidores del Instituto Federal de Goiás (PIPECT).

ECUACIÓN DE LA EVAPOTRANSPIRACIÓN PENMAN-MONTEITH

$$ET_o = \frac{s}{s + \gamma^*} (R_n - G) \frac{1}{\lambda} + \frac{\gamma \cdot 900}{(s + \gamma^*) (T + 273)} U_2 (e_s - e_a)$$

FLUJOGRAMA DE LA ECUACIÓN

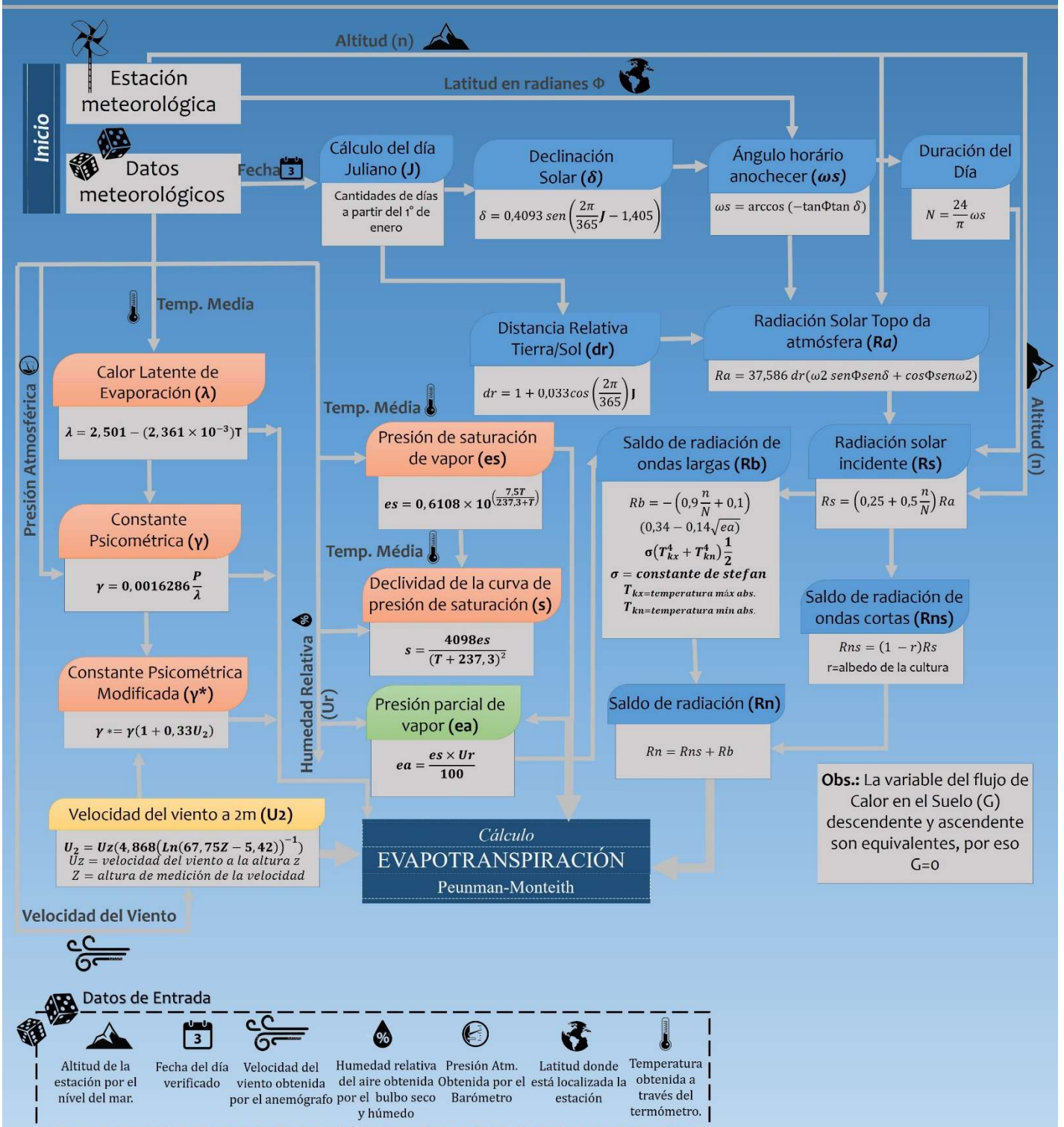


Figura 1. Flujoograma de implementación del método de Penman-Monteith FAO-56 en el software libre Scilab.